

Eingabe: Farbmimetrisches Reflexions-System ORS18

für Buntton $h^* = lab^*h = 38/360 = 0.105$

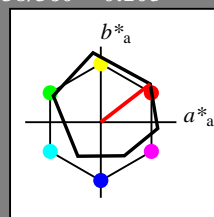
lab^*tch und lab^*nch

D65: Buntton O

LCH*Ma: 48 83 38

rgb*Ma: 1.0 0.0 0.0

Dreiecks-Helligkeit t^*



ORS18; adaptierte CIELAB-Daten

	$L^*=L_a^*$	a_a^*	b_a^*	$C_{ab,a}^*$	$h_{ab,a}^*$
OMa	47.94	65.37	50.52	82.62	38
YMa	90.37	-10.27	91.77	92.34	96
LMa	50.9	-62.79	34.95	71.87	151
CMa	58.62	-30.35	-45.01	54.3	236
VMa	25.71	31.11	-44.42	54.24	305
MMa	48.13	75.27	-8.35	75.73	354
NMa	18.01	0.0	0.0	0.0	0
WMa	95.41	0.0	0.0	0.0	0
RCIE	39.92	58.66	26.98	64.56	25
JCIE	81.26	-2.17	67.76	67.79	92
GCIE	52.23	-42.26	11.75	43.87	164
BCIE	30.57	1.15	-46.84	46.87	271

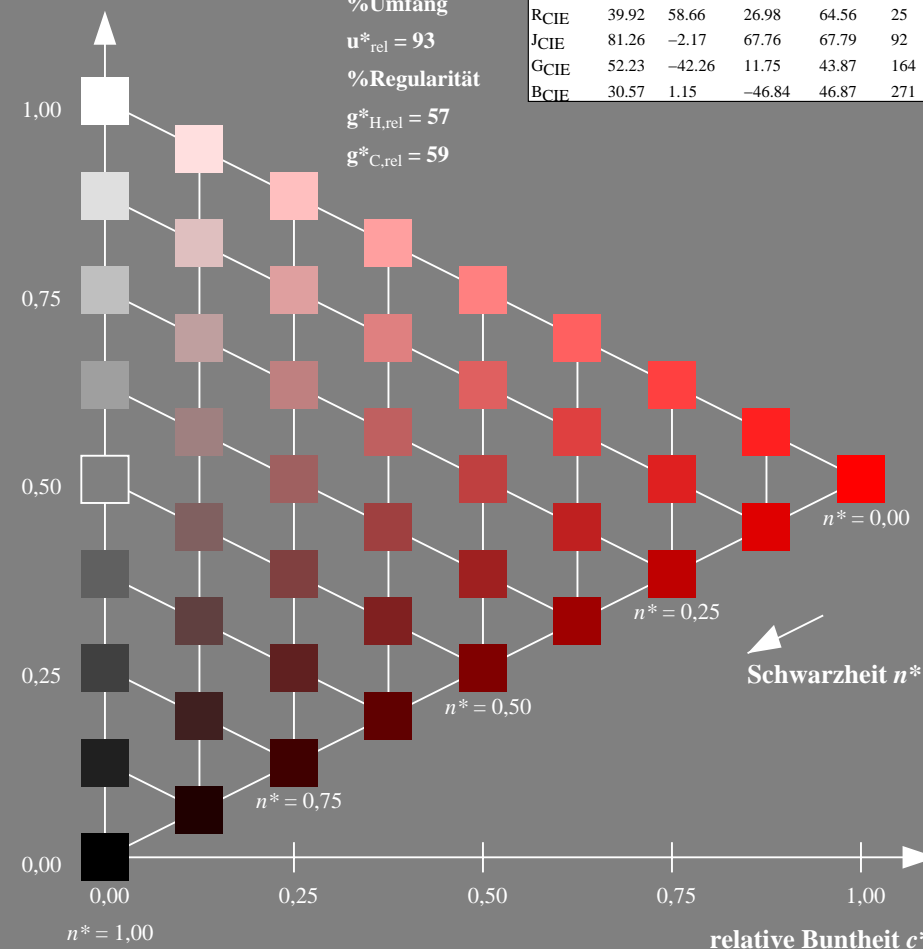
%Umfang

$u_{rel}^* = 93$

%Regularität

$g_{H,rel}^* = 57$

$g_{C,rel}^* = 59$



Schwarzheit n^*

TG720-7, 9stufige Reihen für konstanten CIELAB Buntton $38/360 = 0.105$ (links)

BAM-Prüfvorlage TG72; Farbmimetrik-Systeme ORS18 & NRS11 input: $olv^* setrgbcolor$

D65: 9 und 16stufige Farbreihen für 10 Bunttöne

Ausgabe: Farbmimetrisches Reflexions-System NRS11

für Buntton $h^* = lab^*h = 24/360 = 0.067$

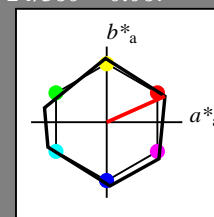
lab^*tch und lab^*nch

D65: Buntton R

LCH*Ma: 53 84 24

rgb*Ma: 1.0 0.0 0.0

Dreiecks-Helligkeit t^*



NRS11; adaptierte CIELAB-Daten

	$L^*=L_a^*$	a_a^*	b_a^*	$C_{ab,a}^*$	$h_{ab,a}^*$
RMa	53.2	77.06	34.32	84.36	24
JMa	53.2	-1.51	84.38	84.39	91
GMa	53.2	-82.27	18.98	84.44	167
G50BMa	53.2	-77.72	-32.98	84.44	203
BMa	53.2	4.37	-84.28	84.41	273
B50RMa	53.2	69.09	-48.41	84.37	325
NMa	10.99	0.0	0.0	0.0	0
WMa	95.41	0.0	0.0	0.0	0
RCIE	39.92	58.69	27.98	65.01	25
JCIE	81.26	-2.9	71.56	71.62	92
GCIE	52.23	-42.45	13.59	44.59	162
BCIE	30.57	1.35	-46.48	46.51	272

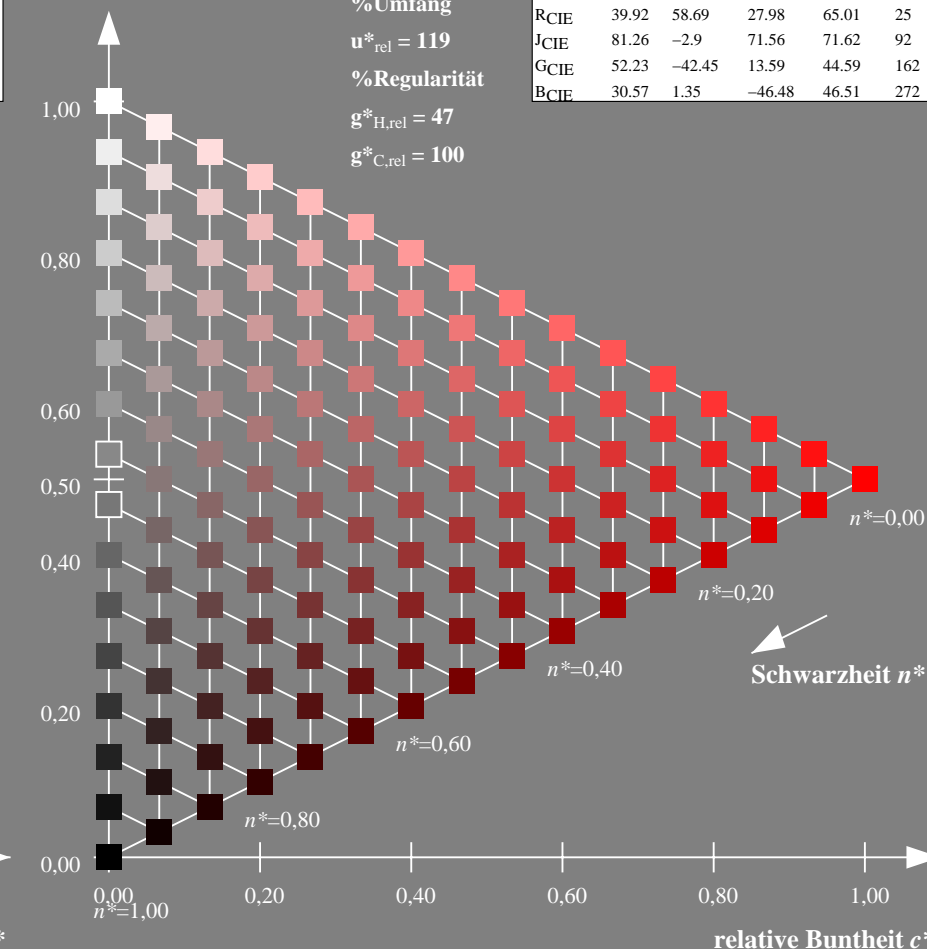
%Umfang

$u_{rel}^* = 119$

%Regularität

$g_{H,rel}^* = 47$

$g_{C,rel}^* = 100$



Schwarzheit n^*

16stufige Reihen für konstanten CIELAB Buntton $24/360 = 0.067$ (rechts)

output: no change compared to input

Eingabe: Farbmimetrisches Reflexions-System ORS18

für Buntton $h^* = lab^*h = 96/360 = 0.268$

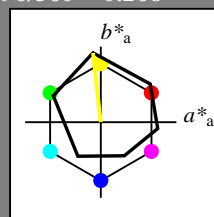
lab^*tch und lab^*nch

D65: Buntton Y

LCH*Ma: 90 92 96

rgb*Ma: 1.0 1.0 0.0

Dreiecks-Helligkeit t^*



ORS18; adaptierte CIELAB-Daten

	$L^*=L_a^*$	a_a^*	b_a^*	$C_{ab,a}^*$	$h_{ab,a}^*$
OMa	47.94	65.37	50.52	82.62	38
YMa	90.37	-10.27	91.77	92.34	96
LMa	50.9	-62.79	34.95	71.87	151
CMa	58.62	-30.35	-45.01	54.3	236
VMa	25.71	31.11	-44.42	54.24	305
MMa	48.13	75.27	-8.35	75.73	354
NMa	18.01	0.0	0.0	0.0	0
WMa	95.41	0.0	0.0	0.0	0
RCIE	39.92	58.66	26.98	64.56	25
JCIE	81.26	-2.17	67.76	67.79	92
GCIE	52.23	-42.26	11.75	43.87	164
BCIE	30.57	1.15	-46.84	46.87	271

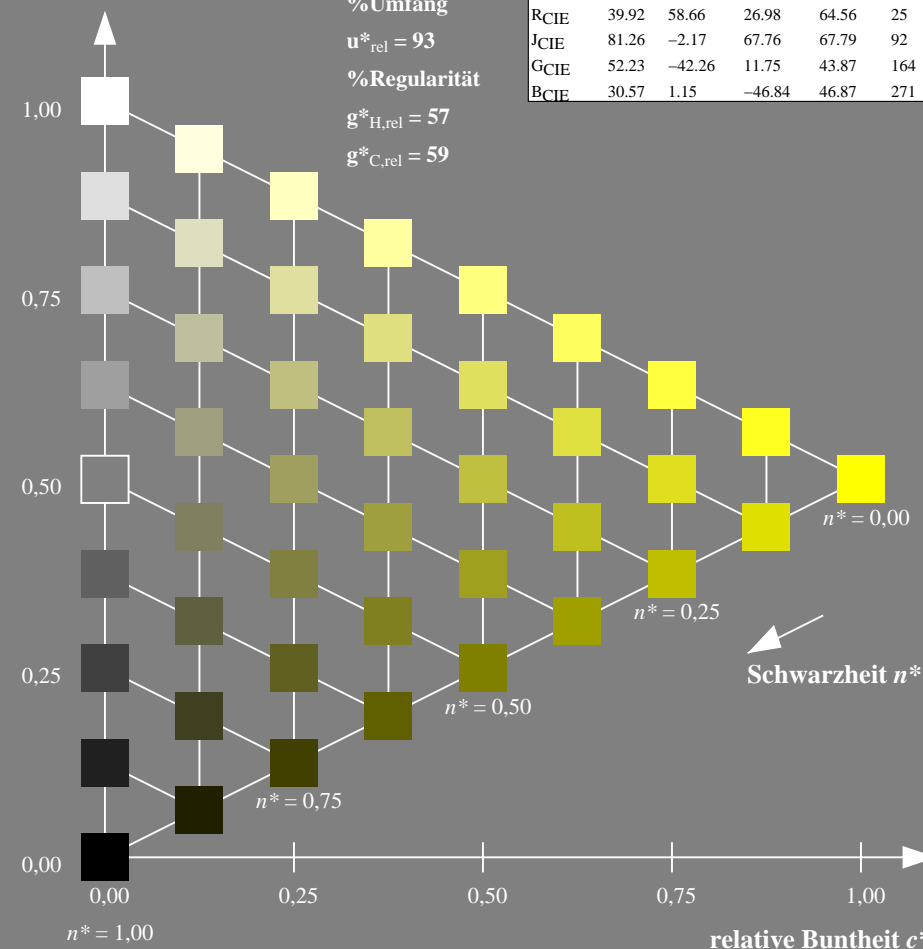
%Umfang

$u_{rel}^* = 93$

%Regularität

$g_{H,rel}^* = 57$

$g_{C,rel}^* = 59$



Schwarzheit n^*

TG720-7, 9stufige Reihen für konstanten CIELAB Buntton $96/360 = 0.268$ (links)

BAM-Prüfvorlage TG72; Farbmimetrik-Systeme ORS18 & NRS11 input: $olv^* setrgbcolor$

D65: 9 und 16stufige Farbreihen für 10 Bunttöne

Ausgabe: Farbmimetrisches Reflexions-System NRS11

für Buntton $h^* = lab^*h = 91/360 = 0.253$

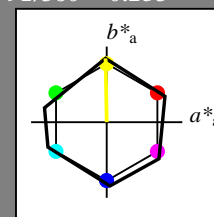
lab^*tch und lab^*nch

D65: Buntton J

LCH*Ma: 53 84 91

rgb*Ma: 1.0 1.0 0.0

Dreiecks-Helligkeit t^*



NRS11; adaptierte CIELAB-Daten

	$L^*=L_a^*$	a_a^*	b_a^*	$C_{ab,a}^*$	$h_{ab,a}^*$
RMa	53.2	77.06	34.32	84.36	24
JMa	53.2	-1.51	84.38	84.39	91
GMa	53.2	-82.27	18.98	84.44	167
G50BMa	53.2	-77.72	-32.98	84.44	203
BMa	53.2	4.37	-84.28	84.41	273
B50RMa	53.2	69.09	-48.41	84.37	325
NMa	10.99	0.0	0.0	0.0	0
WMa	95.41	0.0	0.0	0.0	0
RCIE	39.92	58.69	27.98	65.01	25
JCIE	81.26	-2.9	71.56	71.62	92
GCIE	52.23	-42.45	13.59	44.59	162
BCIE	30.57	1.35	-46.48	46.51	272

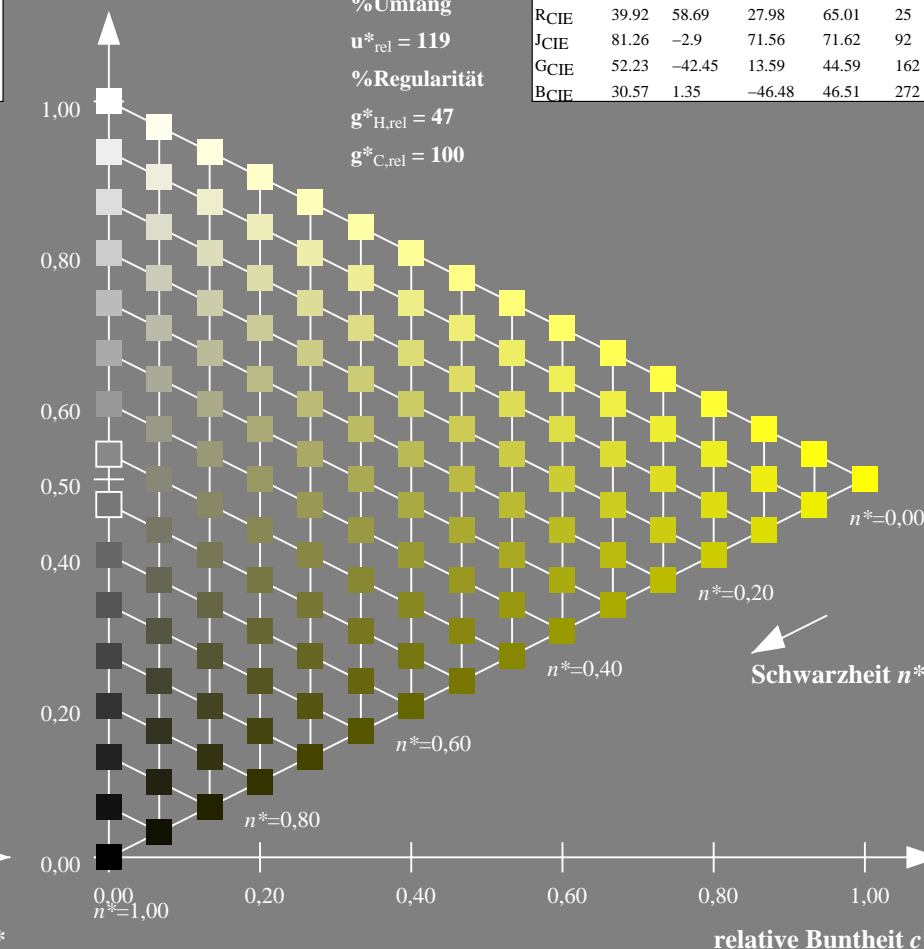
%Umfang

$u_{rel}^* = 119$

%Regularität

$g_{H,rel}^* = 47$

$g_{C,rel}^* = 100$



Schwarzheit n^*

16stufige Reihen für konstanten CIELAB Buntton $91/360 = 0.253$ (rechts)

output: no change compared to input

Siehe ähnliche Dateien: <http://www.ps.bam.de/TG72/>
Technische Information: <http://www.ps.bam.de> Version 2.1, io=1,1

BAM-Registrierung: 20060101-TG72/10Q/Q72G02NP.PS.PDF BAM-Material: Code=rha4ta
Anwendung für Beurteilung und Messung von Drucker- oder Monitorsystemen
/TG72/ Form: 3/10, Serie: 1/1, Seite: 3 Seitenzahl: 3

Eingabe: Farbmétrisches Reflexions-System ORS18

für Buntton $h^* = lab^*h = 151/360 = 0.419$

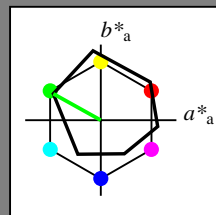
*lab*tch* und *lab*nch*

D65: Buntton L

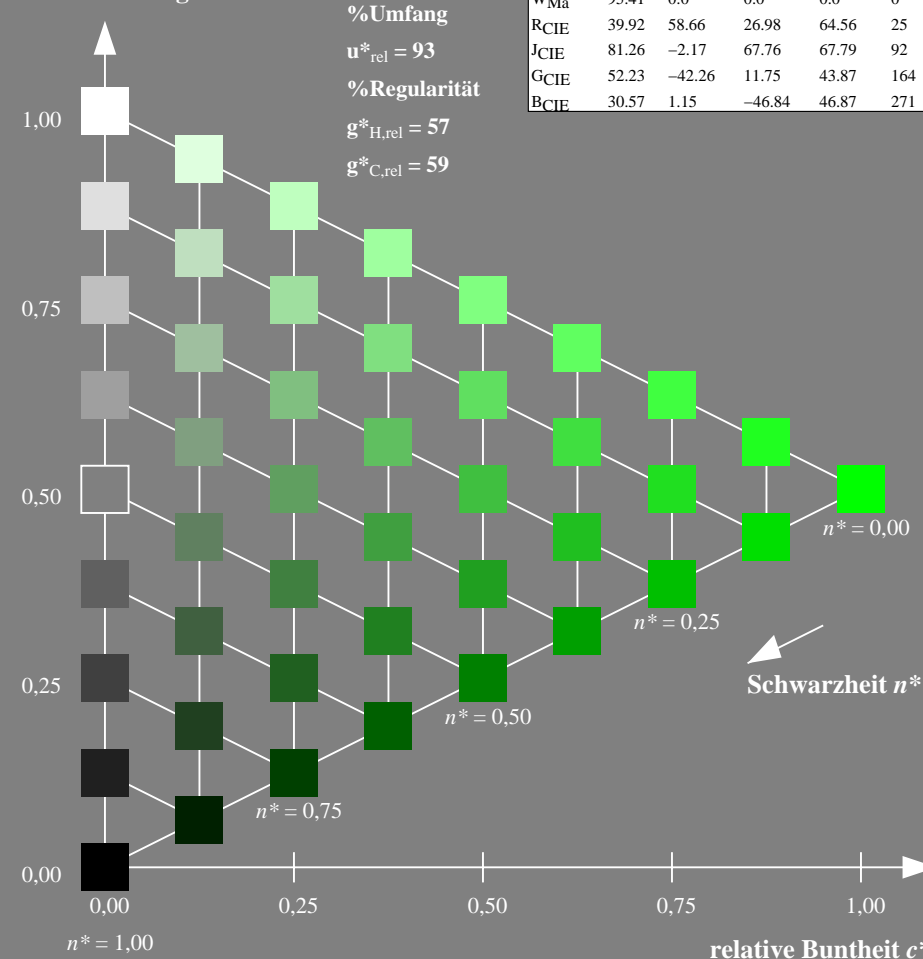
LCH*Ma: 51 72 151

rgb*Ma: 0.0 1.0 0.0

Dreiecks-Helligkeit t^*



ORS18; adaptierte CIELAB-Daten					
	L^*_a	a^*_a	b^*_a	$C^*_{ab,a}$	$h^*_{ab,a}$
OMa	47.94	65.37	50.52	82.62	38
YMa	90.37	-10.27	91.77	92.34	96
LMa	50.9	-62.79	34.95	71.87	151
CMa	58.62	-30.35	-45.01	54.3	236
VMa	25.71	31.11	-44.42	54.24	305
MMa	48.13	75.27	-8.35	75.73	354
NMa	18.01	0.0	0.0	0.0	0
WMa	95.41	0.0	0.0	0.0	0
RCIE	39.92	58.66	26.98	64.56	25
JCIE	81.26	-2.17	67.76	67.79	92
GCIE	52.23	-42.26	11.75	43.87	164
BCIE	30.57	1.15	-46.84	46.87	271



TG720-7, 9stufige Reihen für konstanten CIELAB Buntton $151/360 = 0.419$ (links)

BAM-Prüfvorlage TG72; Farbmatrik-Systeme ORS18 & NRS11 input: *olv* setrgbcolor*

D65: 9 und 16stufige Farbreihen für 10 Bunttöne

Ausgabe: Farbmimetrisches Reflexions-System NRS11

für Buntton $h^* = l a h^* h = 167/360 = 0.464$

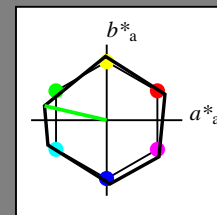
*lab*tch* und *lab*nch*

D65: Buntton G

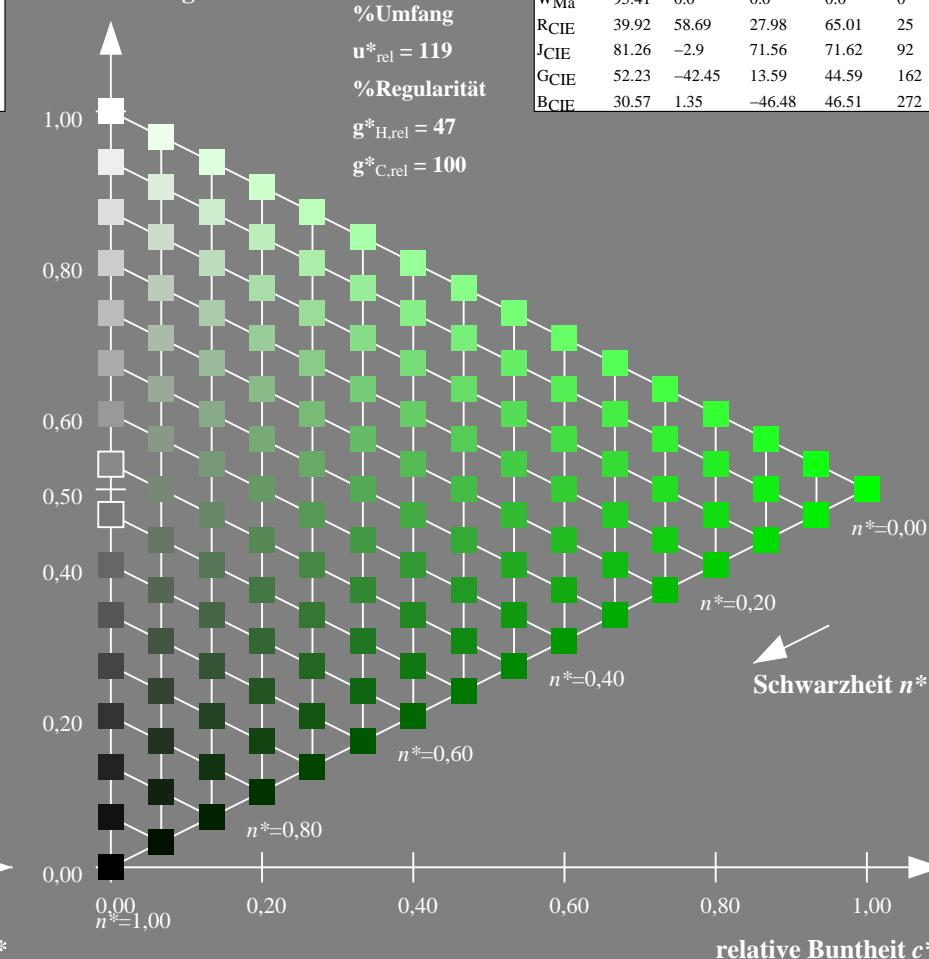
LCH*Ma: 53 84 167

rgb*Ma: 0.0 1.0 0.0

Dreiecks-Helligkeit t^*



NRS11; adaptierte CIELAB-Daten					
	L^*_{ab}	a^*_{ab}	b^*_{ab}	C^*_{ab}	h^*_{ab}
R _{Ma}	53.2	77.06	34.32	84.36	24.1
J _{Ma}	53.2	-1.51	84.38	84.39	91
G _{Ma}	53.2	-82.27	18.98	84.44	167
G50B _{Ma}	53.2	-77.72	-32.98	84.44	203
B _{Ma}	53.2	4.37	-84.28	84.41	273
B50R _{Ma}	53.2	69.09	-48.41	84.37	325
N _{Ma}	10.99	0.0	0.0	0.0	0
W _{Ma}	95.41	0.0	0.0	0.0	0
R _{CIE}	39.92	58.69	27.98	65.01	25
J _{CIE}	81.26	-2.9	71.56	71.62	92
G _{CIE}	52.23	-42.45	13.59	44.59	162
B _{CIE}	30.57	1.35	-46.48	46.51	272

16stufige Reihen für konstanten CIELAB Buntton $167/360 = 0.464$ (rechts)

1 input: *olv* setrgbcolor*
output: *no change compared to input*

Siehe ähnliche Dateien: <http://www.ps.bam.de/TG72/>
Technische Information: <http://www.ps.bam.de/Versi>

BAM-Registrierung: 20060101-TG72/100/Q72G03NP.PS/.PDF BAM-Material: Code=rhdata
Anwendung für Beurteilung und Messung von Drucker- oder Monitorsystemen

Eingabe: Farbmétrisches Reflexions-System ORS18

für Buntton $h^* = lab^*h = 236/360 = 0.656$

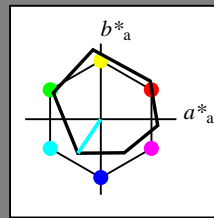
*lab*tch* und *lab*nch*

D65: Buntton C

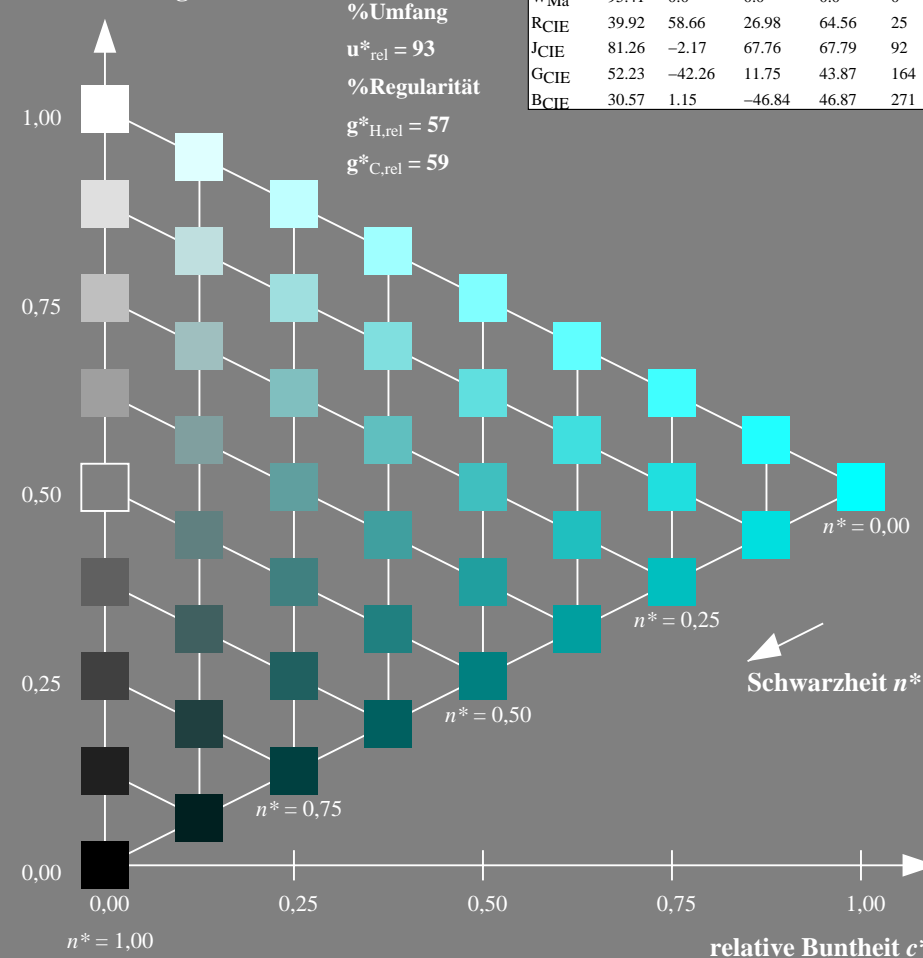
LCH*Ma: 59 54 236

rgb*Ma: 0.0 1.0 1.0

Dreiecks-Helligkeit t^*



ORS18; adaptierte CIELAB-Daten					
	$L^* = L^*_a$	a^*_a	b^*_a	$C^*_{ab,a}$	$h^*_{ab,a}$
OMa	47.94	65.37	50.52	82.62	38
YMa	90.37	-10.27	91.77	92.34	96
LMa	50.9	-62.79	34.95	71.87	151
CMa	58.62	-30.35	-45.01	54.3	236
VMa	25.71	31.11	-44.42	54.24	305
MMa	48.13	75.27	-8.35	75.73	354
NMa	18.01	0.0	0.0	0.0	0
WMa	95.41	0.0	0.0	0.0	0
RCIE	39.92	58.66	26.98	64.56	25
JCIE	81.26	-2.17	67.76	67.79	92
GCIE	52.23	-42.26	11.75	43.87	164
BCIE	30.57	1.15	-46.84	46.87	271



TG720-7, 9stufige Reihen für konstanten CIELAB Buntton $236/360 = 0.656$ (links)

BAM-Prüfvorlage TG72; Farbmatrik-Systeme ORS18 & NRS11 input: *olv* setrgbcolor*

D65: 9 und 16stufige Farbreihen für 10 Bunttöne

Ausgabe: Farbmimetrisches Reflexions-System NRS11

für Buntton $h^* = lab^*h = 203/360 = 0.564$

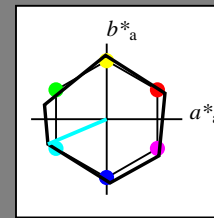
*lab*tch* und *lab*nch*

D65: Buntton G50B

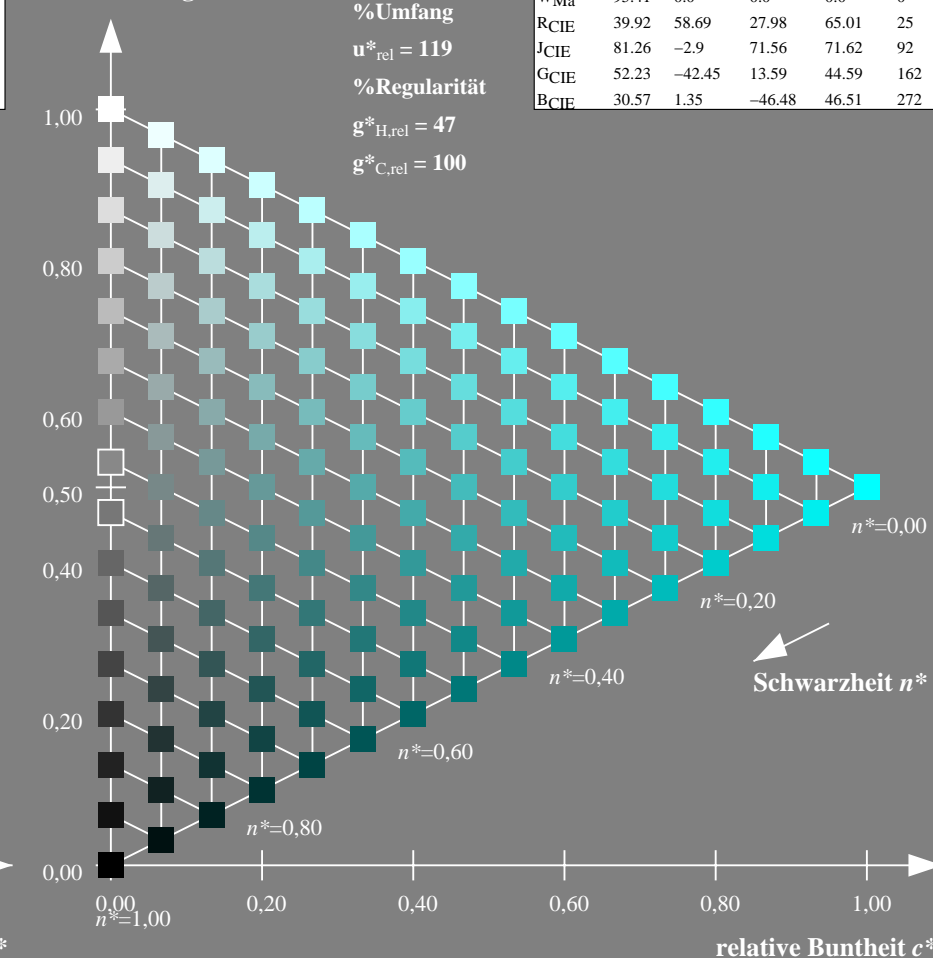
LCH*Ma: 53 84 203

rgb*Ma: 0.0 1.0 1.0

Dreiecks-Helligkeit t^*



NRS11; adaptierte CIELAB-Daten					
	L^*_a	a^*_a	b^*_a	$C^*_{ab,a}$	$h^*_{ab,a}$
R _{Ma}	53.2	77.06	34.32	84.36	24
J _{Ma}	53.2	-1.51	84.38	84.39	91
G _{Ma}	53.2	-82.27	18.98	84.44	167
G50B _{Ma}	53.2	-77.72	-32.98	84.44	203
B _{Ma}	53.2	4.37	-84.28	84.41	273
B50R _{Ma}	53.2	69.09	-48.41	84.37	325
N _{Ma}	10.99	0.0	0.0	0.0	0
W _{Ma}	95.41	0.0	0.0	0.0	0
R _{CIE}	39.92	58.69	27.98	65.01	25
J _{CIE}	81.26	-2.9	71.56	71.62	92
G _{CIE}	52.23	-42.45	13.59	44.59	162
B _{CIE}	30.57	1.35	-46.48	46.51	272

16stufige Reihen für konstanten CIELAB Buntton $203/360 = 0.564$ (rechts)

1 input: *olv* setrgbcolor*
output: *no change compared to input*

Siehe ähnliche Dateien: <http://www.ps.bam.de/TG72/>
Technische Information: <http://www.ps.bam.de> Version 2.1, io=1,1

BAM-Registrierung: 20060101-TG72/10Q/Q72G05NP.PS/.PDF BAM-Material: Code=rh4ta
Anwendung für Beurteilung und Messung von Drucker- oder Monitorsystemen

Eingabe: Farbmétrisches Reflexions-System ORS18

für Buntton $h^* = lab^*h = 354/360 = 0.982$

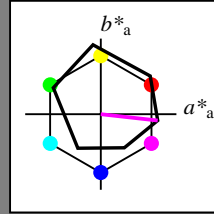
*lab*tch* und *lab*nch*

D65: Buntton M

LCH*Ma: 48 76 354

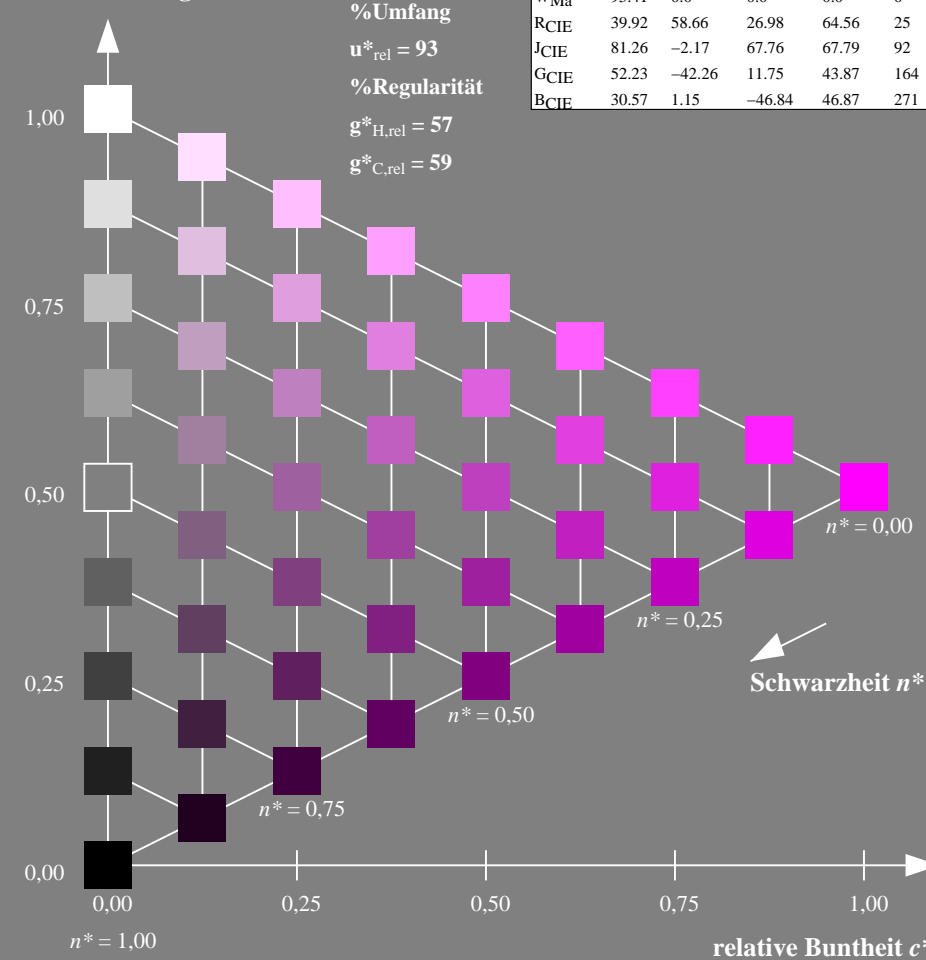
rgb*Ma: 1.0 0.0 1.0

Dreiecks-Helligkeit t^*



ORS18; adaptierte CIELAB-Daten

	$L^* = L^*_a$	a^*_a	b^*_a	$C^*_{ab,a}$	$h^*_{ab,a}$
OMa	47.94	65.37	50.52	82.62	38
YMa	90.37	-10.27	91.77	92.34	96
LMa	50.9	-62.79	34.95	71.87	151
CMa	58.62	-30.35	-45.01	54.3	236
VMa	25.71	31.11	-44.42	54.24	305
MMa	48.13	75.27	-8.35	75.73	354
NMa	18.01	0.0	0.0	0.0	0
WMa	95.41	0.0	0.0	0.0	0
RCIE	39.92	58.66	26.98	64.56	25
JCIE	81.26	-2.17	67.76	67.79	92
GCIE	52.23	-42.26	11.75	43.87	164
BCIE	30.57	1.15	-46.84	46.87	271



TG720-7, 9stufige Reihen für konstanten CIELAB Buntton $354/360 = 0.982$ (links)

BAM-Prüfvorlage TG72; Farbmatrik-Systeme ORS18 & NRS11 input: *olv* setrgbcolor*

D65: 9 und 16stufige Farbreihen für 10 Bunttöne

Ausgabe: Farbmetrisches Reflexions-System NRS11

für Buntton $h^* = lab^*h = 325/360 = 0.903$

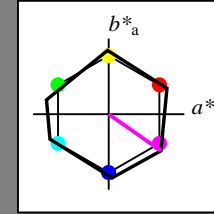
*lab*tch* und *lab*nch*

D65: Buntton B50R

LCH*Ma: 53 84 325

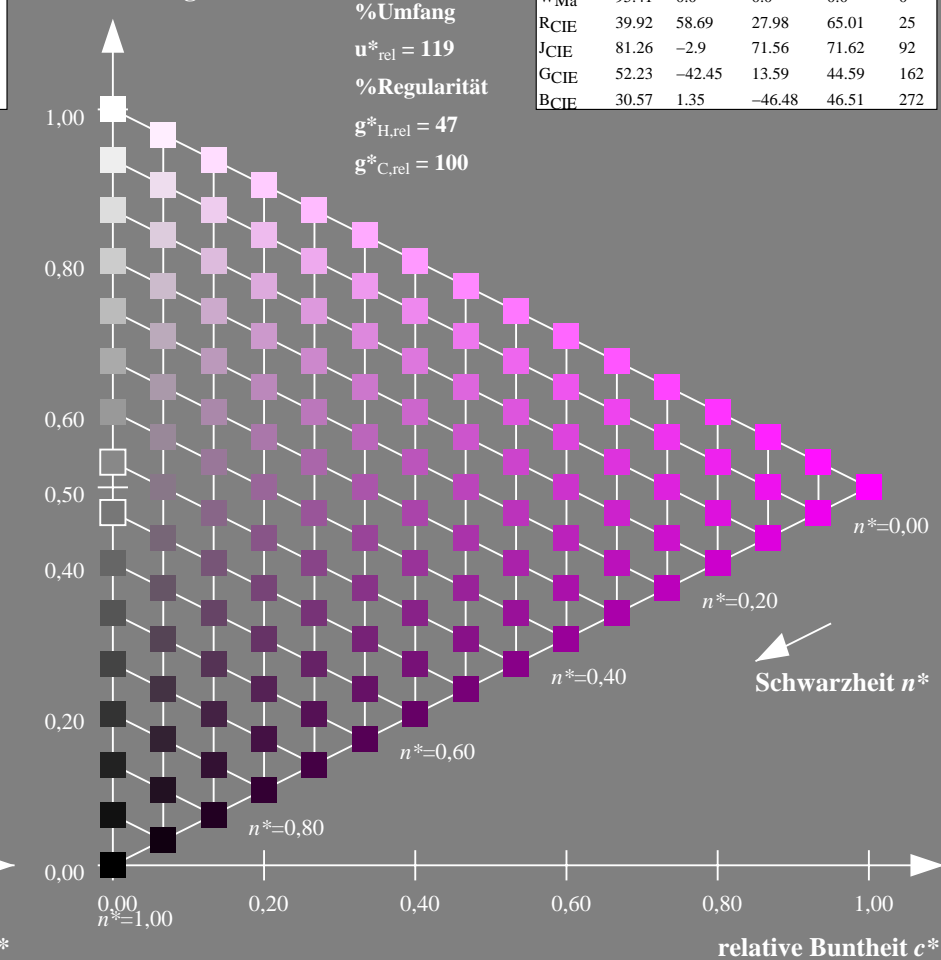
rgb*Ma: 1.0 0.0 1.0

Dreiecks-Helligkeit t^*



NRS11; adaptierte CIELAB-Daten

	$L^{\pi=L^*}_{\text{a}}$	a^{π}_{a}	b^{π}_{a}	$C^{\pi}_{\text{ab,a}}$	$n^{\pi}_{\text{ab,a}}$
RMa	53.2	77.06	34.32	84.36	24
JMa	53.2	-1.51	84.38	84.39	91
GMa	53.2	-82.27	18.98	84.44	167
G50B _{Ma}	53.2	-77.72	-32.98	84.44	203
B _{Ma}	53.2	4.37	-84.28	84.41	273
B50R _{Ma}	53.2	69.09	-48.41	84.37	325
N _{Ma}	10.99	0.0	0.0	0.0	0
W _{Ma}	95.41	0.0	0.0	0.0	0
RCIE	39.92	58.69	27.98	65.01	25
JCIE	81.26	-2.9	71.56	71.62	92
GCIE	52.23	-42.45	13.59	44.59	162
BCIE	30.57	1.35	-46.48	46.51	272

16stufige Reihen für konstanten CIELAB Buntton $325/360 = 0.903$ (rechts)

1 input: *olv* setrgbcolor*
output: *no change compared to input*

Eingabe: Farbmimetrisches Reflexions-System ORS18

für Buntton $h^* = lab^*h = 25/360 = 0.069$

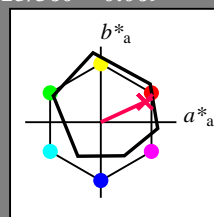
lab^*tch und lab^*nch

D65: Buntton R

LCH*Ma: 48 75 25

rgb*Ma: 1.0 0.0 0.32

Dreiecks-Helligkeit t^*



ORS18; adaptierte CIELAB-Daten

	$L^*=L_a^*$	a_a^*	b_a^*	$C_{ab,a}^*$	$h_{ab,a}^*$
OMa	47.94	65.37	50.52	82.62	38
YMa	90.37	-10.27	91.77	92.34	96
LMa	50.9	-62.79	34.95	71.87	151
CMa	58.62	-30.35	-45.01	54.3	236
VMa	25.71	31.11	-44.42	54.24	305
MMa	48.13	75.27	-8.35	75.73	354
NMa	18.01	0.0	0.0	0.0	0
WMa	95.41	0.0	0.0	0.0	0
RCIE	39.92	58.66	26.98	64.56	25
JCIE	81.26	-2.17	67.76	67.79	92
GCIE	52.23	-42.26	11.75	43.87	164
BCIE	30.57	1.15	-46.84	46.87	271

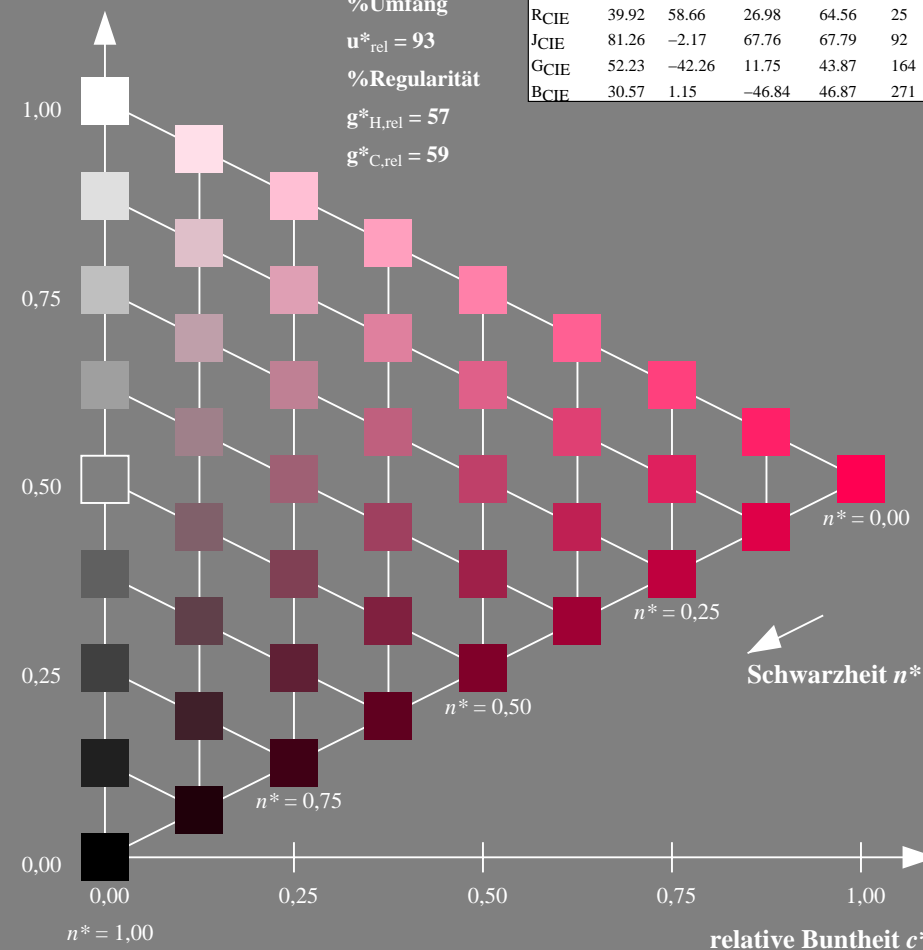
%Umfang

$u_{rel}^* = 93$

%Regularität

$g_{H,rel}^* = 57$

$g_{C,rel}^* = 59$



TG720-7, 9stufige Reihen für konstanten CIELAB Buntton 25/360 = 0.069 (links)

BAM-Prüfvorlage TG72; Farbmimetrik-Systeme ORS18 & NRS11 input: $olv^* setrgbcolor$

D65: 9 und 16stufige Farbreihen für 10 Bunttöne

Ausgabe: Farbmimetrisches Reflexions-System NRS11

für Buntton $h^* = lab^*h = 25/360 = 0.071$

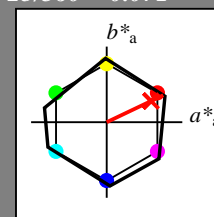
lab^*tch und lab^*nch

D65: Buntton R

LCH*Ma: 53 83 25

rgb*Ma: 1.0 0.03 0.0

Dreiecks-Helligkeit t^*



NRS11; adaptierte CIELAB-Daten

	$L^*=L_a^*$	a_a^*	b_a^*	$C_{ab,a}^*$	$h_{ab,a}^*$
RMa	53.2	77.06	34.32	84.36	24
JMa	53.2	-1.51	84.38	84.39	91
GMa	53.2	-82.27	18.98	84.44	167
G50BMa	53.2	-77.72	-32.98	84.44	203
BMa	53.2	4.37	-84.28	84.41	273
B50RMa	53.2	69.09	-48.41	84.37	325
NMa	10.99	0.0	0.0	0.0	0
WMa	95.41	0.0	0.0	0.0	0
RCIE	39.92	58.69	27.98	65.01	25
JCIE	81.26	-2.9	71.56	71.62	92
GCIE	52.23	-42.45	13.59	44.59	162
BCIE	30.57	1.35	-46.48	46.51	272

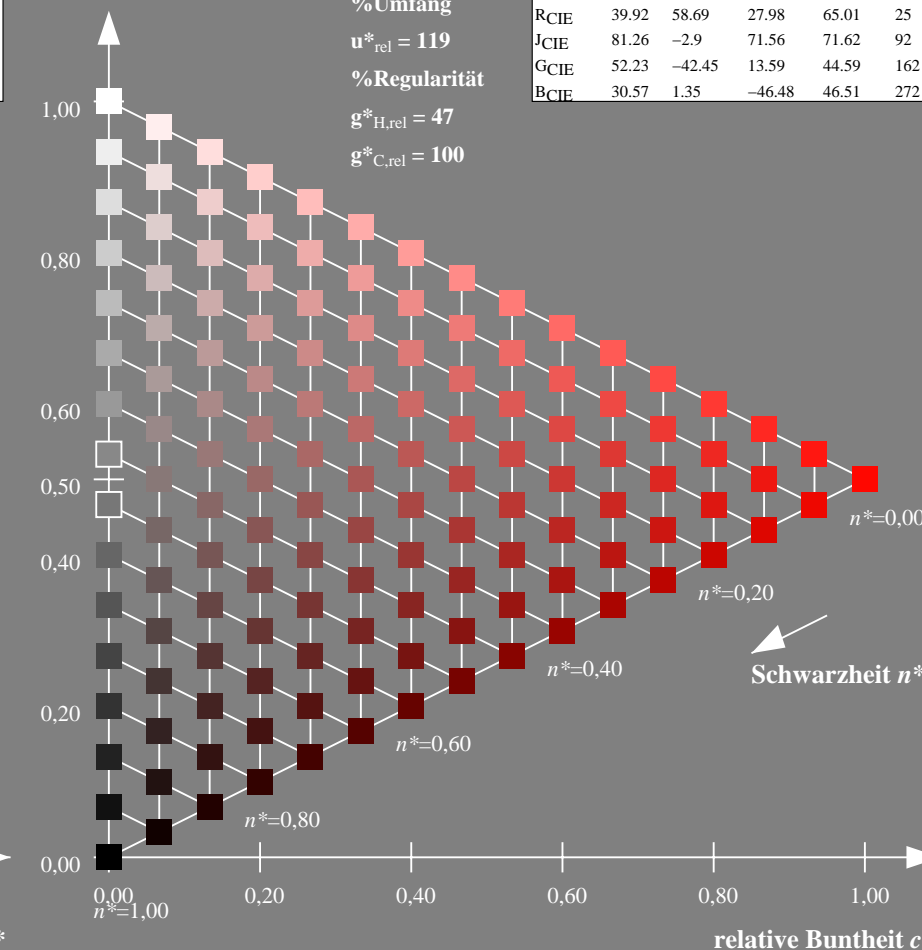
%Umfang

$u_{rel}^* = 119$

%Regularität

$g_{H,rel}^* = 47$

$g_{C,rel}^* = 100$



16stufige Reihen für konstanten CIELAB Buntton 25/360 = 0.071 (rechts)

output: no change compared to input

Eingabe: Farbmétrisches Reflexions-System ORS18

für Buntton $h^* = lab^*h = 92/360 = 0.255$

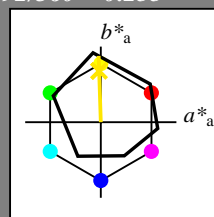
lab^*tch und lab^*nch

D65: Buntton J

LCH*Ma: 86 88 92

rgb*Ma: 1.0 0.9 0.0

Dreiecks-Helligkeit t^*



ORS18; adaptierte CIELAB-Daten

	$L^*=L_a^*$	a_a^*	b_a^*	$C_{ab,a}^*$	$h_{ab,a}^*$
OMa	47.94	65.37	50.52	82.62	38
YMa	90.37	-10.27	91.77	92.34	96
LMa	50.9	-62.79	34.95	71.87	151
CMa	58.62	-30.35	-45.01	54.3	236
VMa	25.71	31.11	-44.42	54.24	305
MMa	48.13	75.27	-8.35	75.73	354
NMa	18.01	0.0	0.0	0.0	0
WMa	95.41	0.0	0.0	0.0	0
RCIE	39.92	58.66	26.98	64.56	25
JCIE	81.26	-2.17	67.76	67.79	92
GCIE	52.23	-42.26	11.75	43.87	164
BCIE	30.57	1.15	-46.84	46.87	271

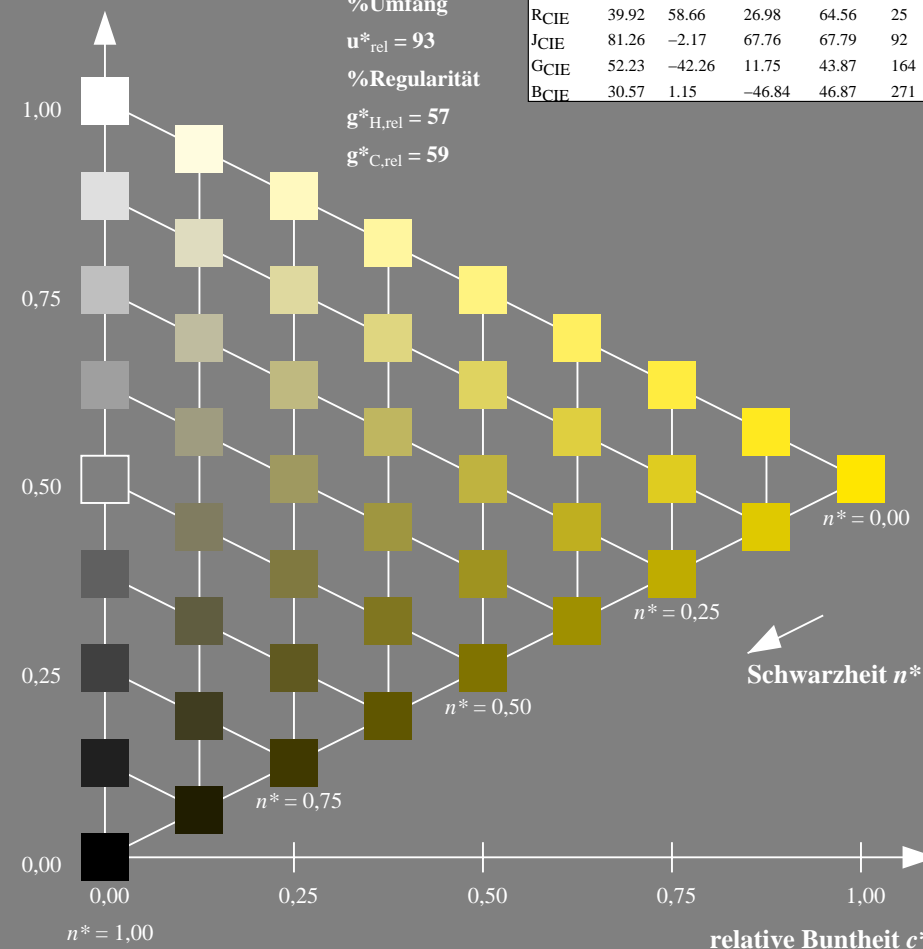
%Umfang

$u_{rel}^* = 93$

%Regularität

$g_{H,rel}^* = 57$

$g_{C,rel}^* = 59$



TG720-7, 9stufige Reihen für konstanten CIELAB Buntton $92/360 = 0.255$ (links)

BAM-Prüfvorlage TG72; Farbmétrik-Systeme ORS18 & NRS11 input: $olv^* setrgbcolor$

D65: 9 und 16stufige Farbreihen für 10 Bunttöne

Ausgabe: Farbmétrisches Reflexions-System NRS11

für Buntton $h^* = lab^*h = 92/360 = 0.256$

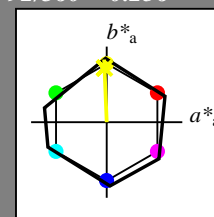
lab^*tch und lab^*nch

D65: Buntton J

LCH*Ma: 53 83 92

rgb*Ma: 0.98 1.0 0.0

Dreiecks-Helligkeit t^*



NRS11; adaptierte CIELAB-Daten

	$L^*=L_a^*$	a_a^*	b_a^*	$C_{ab,a}^*$	$h_{ab,a}^*$
RMa	53.2	77.06	34.32	84.36	24
JMa	53.2	-1.51	84.38	84.39	91
GMa	53.2	-82.27	18.98	84.44	167
G50BMa	53.2	-77.72	-32.98	84.44	203
BMa	53.2	4.37	-84.28	84.41	273
B50RMa	53.2	69.09	-48.41	84.37	325
NMa	10.99	0.0	0.0	0.0	0
WMa	95.41	0.0	0.0	0.0	0
RCIE	39.92	58.69	27.98	65.01	25
JCIE	81.26	-2.9	71.56	71.62	92
GCIE	52.23	-42.45	13.59	44.59	162
BCIE	30.57	1.35	-46.48	46.51	272

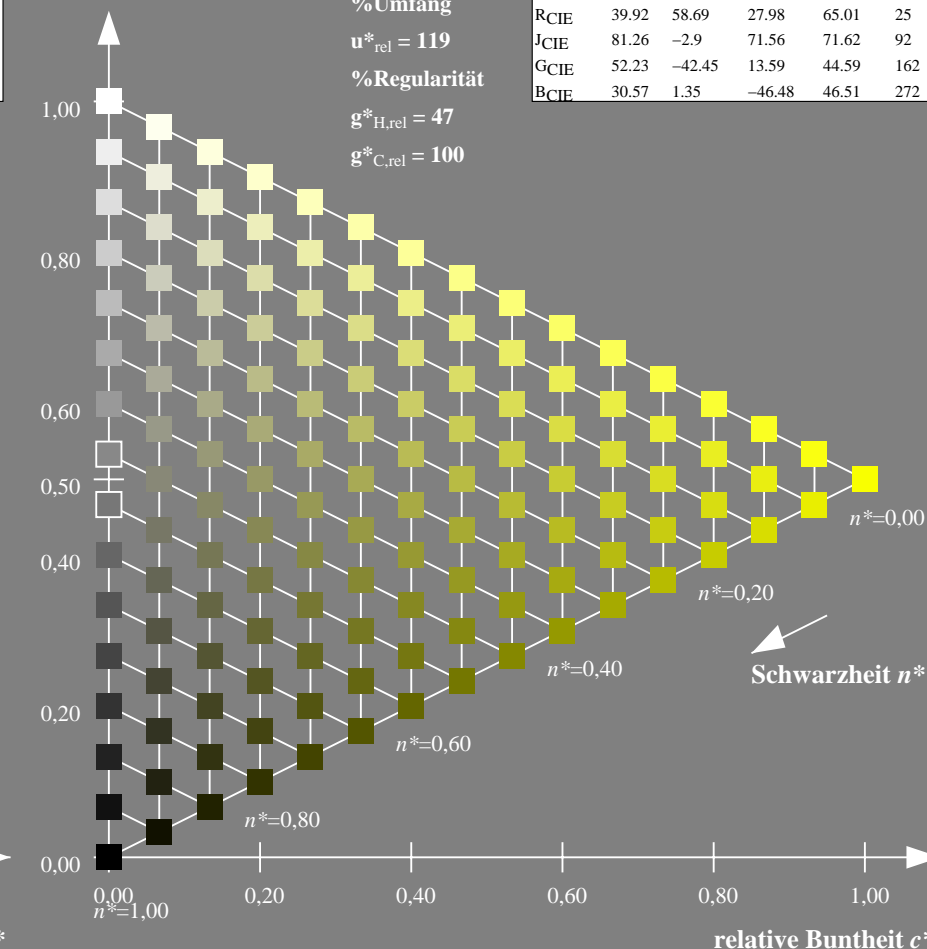
%Umfang

$u_{rel}^* = 119$

%Regularität

$g_{H,rel}^* = 47$

$g_{C,rel}^* = 100$



16stufige Reihen für konstanten CIELAB Buntton $92/360 = 0.256$ (rechts)

output: no change compared to input

Eingabe: Farbmimetrisches Reflexions-System ORS18

für Buntton $h^* = lab^*h = 164/360 = 0.457$

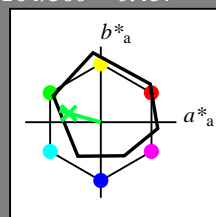
lab^*tch und lab^*nch

D65: Buntton G

LCH*Ma: 53 57 164

rgb*Ma: 0.0 1.0 0.25

Dreiecks-Helligkeit t^*



ORS18; adaptierte CIELAB-Daten

	$L^*=L_a^*$	a_a^*	b_a^*	$C_{ab,a}^*$	$h_{ab,a}^*$
OMa	47.94	65.37	50.52	82.62	38
YMa	90.37	-10.27	91.77	92.34	96
LMa	50.9	-62.79	34.95	71.87	151
CMa	58.62	-30.35	-45.01	54.3	236
VMa	25.71	31.11	-44.42	54.24	305
MMa	48.13	75.27	-8.35	75.73	354
NMa	18.01	0.0	0.0	0.0	0
WMa	95.41	0.0	0.0	0.0	0
RCIE	39.92	58.66	26.98	64.56	25
JCIE	81.26	-2.17	67.76	67.79	92
GCIE	52.23	-42.26	11.75	43.87	164
BCIE	30.57	1.15	-46.84	46.87	271

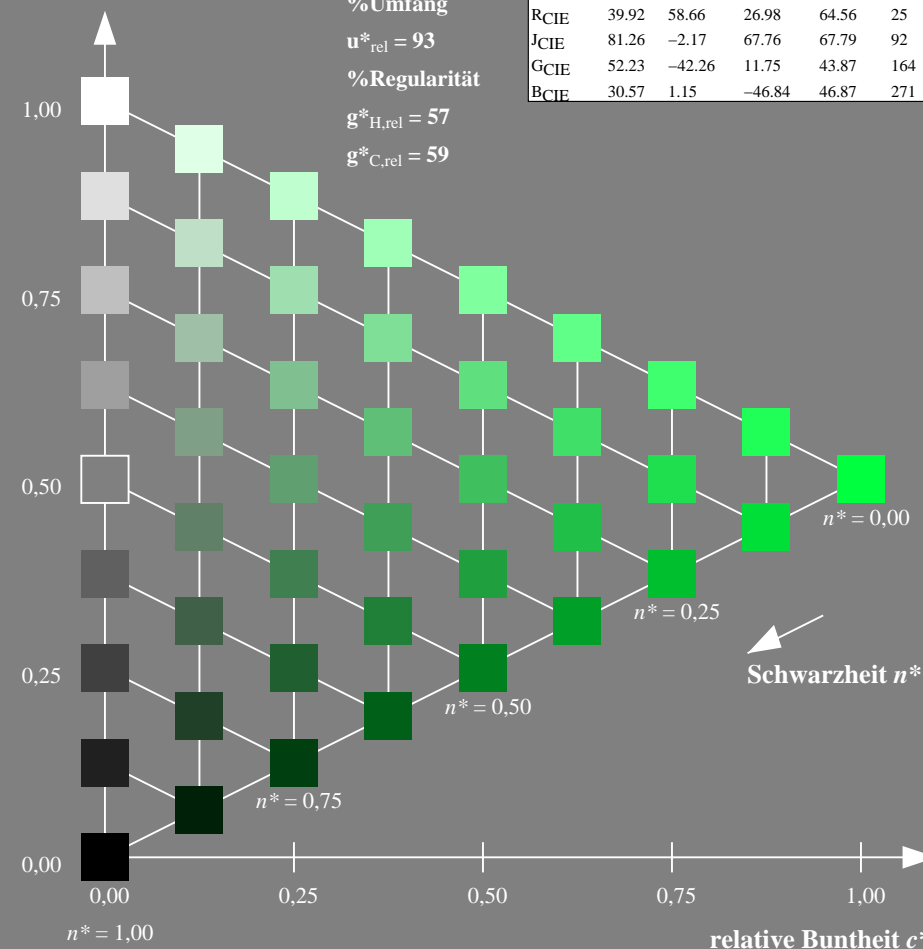
%Umfang

$u_{rel}^* = 93$

%Regularität

$g_{H,rel}^* = 57$

$g_{C,rel}^* = 59$



TG720-7, 9stufige Reihen für konstanten CIELAB Buntton 164/360 = 0.457 (links)

BAM-Prüfvorlage TG72; Farbmimetrik-Systeme ORS18 & NRS11 input: $olv^* setrgbcolor$

D65: 9 und 16stufige Farbreihen für 10 Bunttöne

Ausgabe: Farbmimetrisches Reflexions-System NRS11

für Buntton $h^* = lab^*h = 162/360 = 0.451$

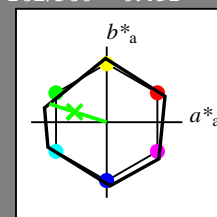
lab^*tch und lab^*nch

D65: Buntton G

LCH*Ma: 53 80 162

rgb*Ma: 0.08 1.0 0.0

Dreiecks-Helligkeit t^*



NRS11; adaptierte CIELAB-Daten

	$L^*=L_a^*$	a_a^*	b_a^*	$C_{ab,a}^*$	$h_{ab,a}^*$
RMa	53.2	77.06	34.32	84.36	24
JMa	53.2	-1.51	84.38	84.39	91
GMa	53.2	-82.27	18.98	84.44	167
G50BMa	53.2	-77.72	-32.98	84.44	203
BMa	53.2	4.37	-84.28	84.41	273
B50RMa	53.2	69.09	-48.41	84.37	325
NMa	10.99	0.0	0.0	0.0	0
WMa	95.41	0.0	0.0	0.0	0
RCIE	39.92	58.69	27.98	65.01	25
JCIE	81.26	-2.9	71.56	71.62	92
GCIE	52.23	-42.45	13.59	44.59	162
BCIE	30.57	1.35	-46.48	46.51	272

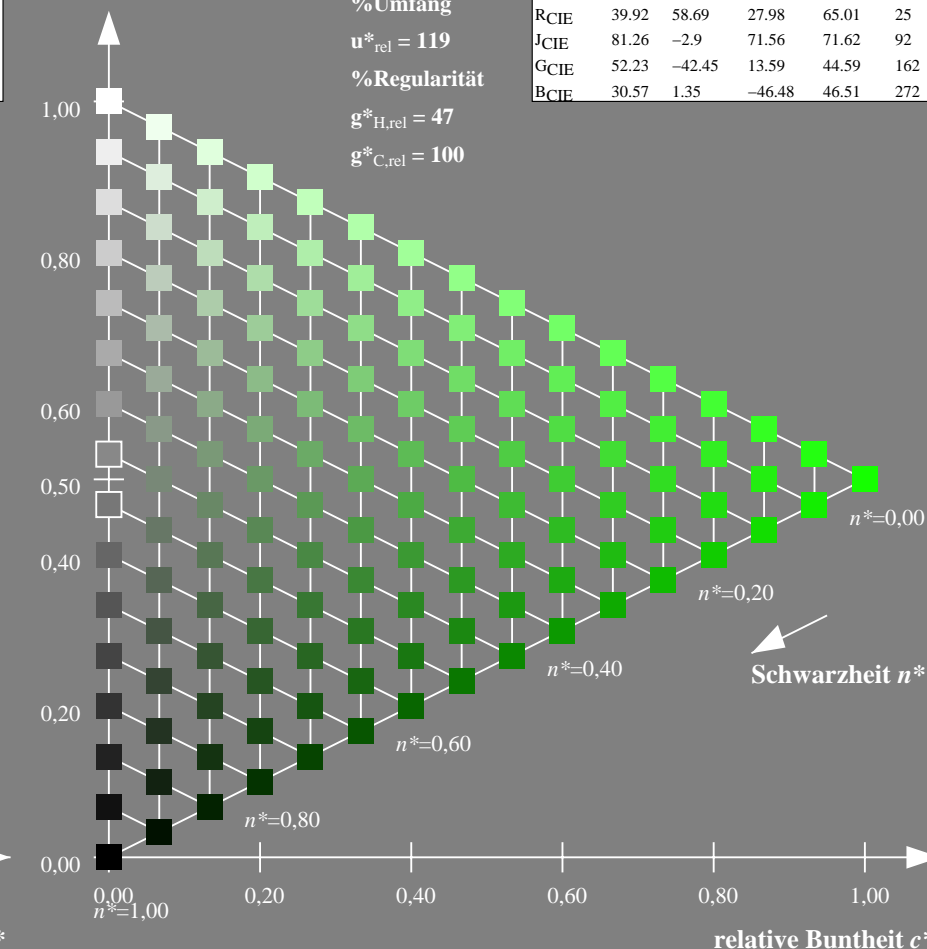
%Umfang

$u_{rel}^* = 119$

%Regularität

$g_{H,rel}^* = 47$

$g_{C,rel}^* = 100$



16stufige Reihen für konstanten CIELAB Buntton 162/360 = 0.451 (rechts)

output: no change compared to input

Eingabe: Farbmimetrisches Reflexions-System ORS18

für Buntton $h^* = lab^*h = 271/360 = 0.754$

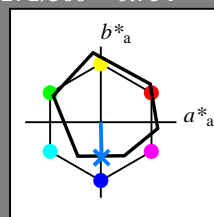
lab^*tch und lab^*nch

D65: Buntton B

LCH*Ma: 42 45 271

rgb*Ma: 0.0 0.49 1.0

Dreiecks-Helligkeit t^*



ORS18; adaptierte CIELAB-Daten

	$L^*=L_a^*$	a_a^*	b_a^*	$C_{ab,a}^*$	$h_{ab,a}^*$
OMa	47.94	65.37	50.52	82.62	38
YMa	90.37	-10.27	91.77	92.34	96
LMa	50.9	-62.79	34.95	71.87	151
CMa	58.62	-30.35	-45.01	54.3	236
VMa	25.71	31.11	-44.42	54.24	305
MMa	48.13	75.27	-8.35	75.73	354
NMa	18.01	0.0	0.0	0.0	0
WMa	95.41	0.0	0.0	0.0	0
RCIE	39.92	58.66	26.98	64.56	25
JCIE	81.26	-2.17	67.76	67.79	92
GCIE	52.23	-42.26	11.75	43.87	164
BCIE	30.57	1.15	-46.84	46.87	271

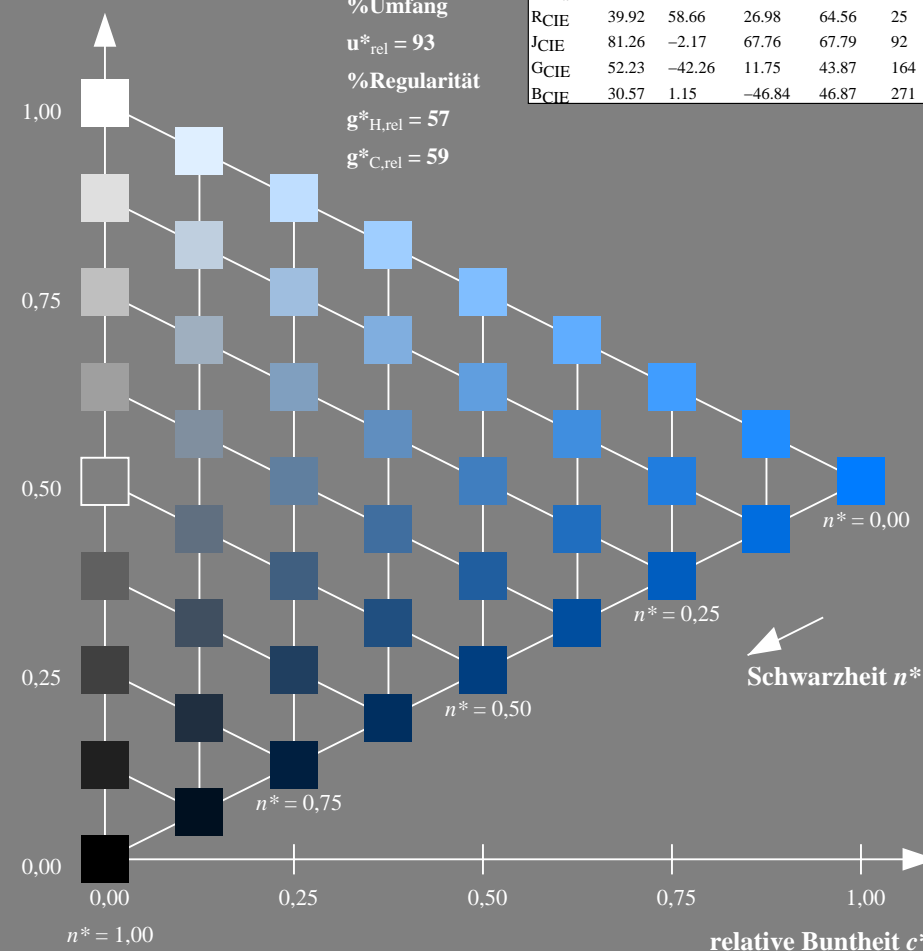
%Umfang

$u_{rel}^* = 93$

%Regularität

$g_{H,rel}^* = 57$

$g_{C,rel}^* = 59$



TG720-7, 9stufige Reihen für konstanten CIELAB Buntton 271/360 = 0.754 (links)

BAM-Prüfvorlage TG72; Farbmimetrik-Systeme ORS18 & NRS11 input: $olv^* setrgbcolor$

D65: 9 und 16stufige Farbreihen für 10 Bunttöne

Ausgabe: Farbmimetrisches Reflexions-System NRS11

für Buntton $h^* = lab^*h = 272/360 = 0.755$

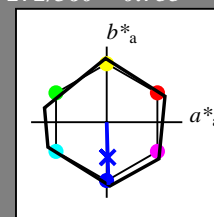
lab^*tch und lab^*nch

D65: Buntton B

LCH*Ma: 53 83 272

rgb*Ma: 0.0 0.02 1.0

Dreiecks-Helligkeit t^*



NRS11; adaptierte CIELAB-Daten

	$L^*=L_a^*$	a_a^*	b_a^*	$C_{ab,a}^*$	$h_{ab,a}^*$
RMa	53.2	77.06	34.32	84.36	24
JMa	53.2	-1.51	84.38	84.39	91
GMa	53.2	-82.27	18.98	84.44	167
G50BMa	53.2	-77.72	-32.98	84.44	203
BMa	53.2	4.37	-84.28	84.41	273
B50RMa	53.2	69.09	-48.41	84.37	325
NMa	10.99	0.0	0.0	0.0	0
WMa	95.41	0.0	0.0	0.0	0
RCIE	39.92	58.69	27.98	65.01	25
JCIE	81.26	-2.9	71.56	71.62	92
GCIE	52.23	-42.45	13.59	44.59	162
BCIE	30.57	1.35	-46.48	46.51	272

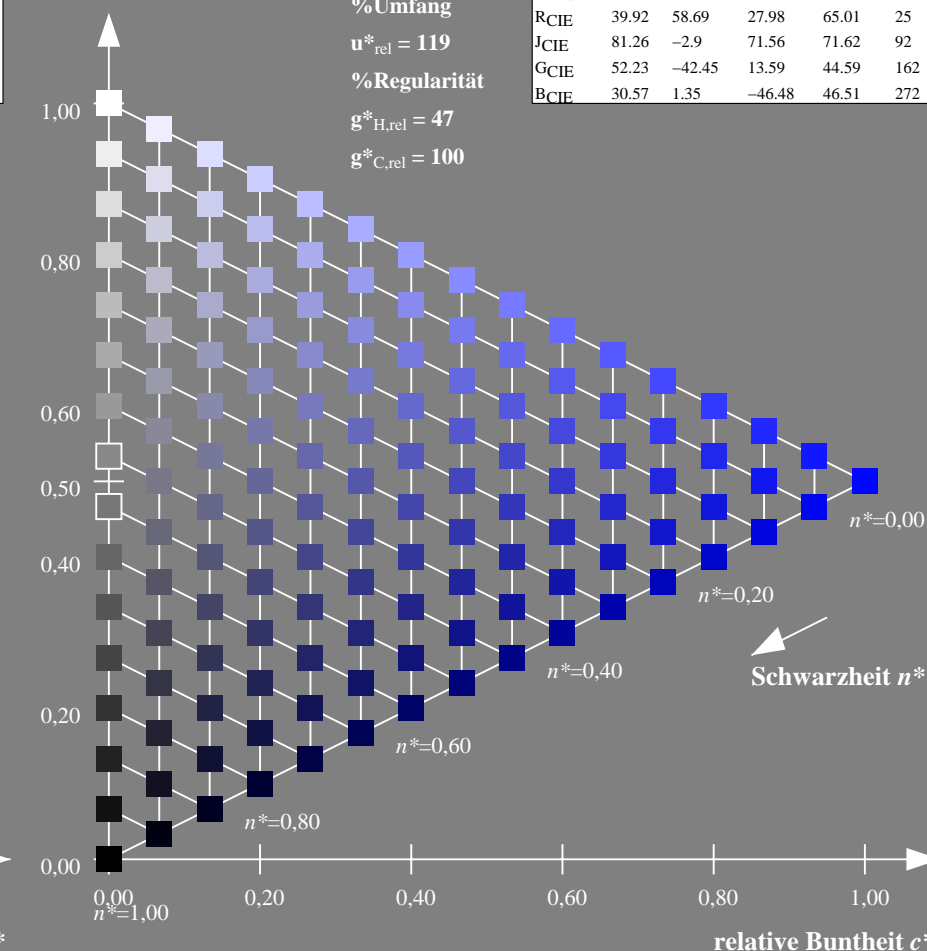
%Umfang

$u_{rel}^* = 119$

%Regularität

$g_{H,rel}^* = 47$

$g_{C,rel}^* = 100$



16stufige Reihen für konstanten CIELAB Buntton 272/360 = 0.755 (rechts)

output: no change compared to input